



高層建築的振动

苏联 И. Л. 卡尔欽斯基



基本建設出版社

高層建築的振動



基本建設出版社

1957·北京

內 容 提 要

本書为苏联工業建筑中央科学研究院（ Ц Н И П С ）和苏联建筑工程部技术司联合举办的科学报告之一。

本書叙述高層建筑物振动問題的实地研究和它的結果，研究这些建筑物中鋼架的填充砌体对于側向剛度的影响，並用近似算法求出自振频率的公式的結論。

本書可供設計工程师、研究生和科学工作者参考。

原 本 說 明

書 名：КОЛЕБАНИЯ ВЫСОТНЫХ ЗДАНИЙ

出 版 者：Государственное издательство

литературы по строительству и архитектуре

出版地点及日期：Москва—1953

高 層 建 筑 的 振 动

关 振 鐸 譯

*

基 本 建 设 出 版 社 出 版

(北京復興門外三里河)

北京書刊出版業營業許可證出字第086號

國 家 建 設 委 員 會 印 刷 厂 印 刷 新 华 書 店 發 行

*

書 号：15052.162

開 本 787×1092 1/32 · 印 張 17/16 字 數 30,000

1957年10月第1版

1957年10月第1次印刷 · 印數 1—1,200 冊

定 价 (11) 0.32 元

目 录

緒論	1
1. 實地觀察方法	3
2. 主要的實地試驗結果	17
3. 剪切振動	22
4. 側向剛度	32
5. 剪切模量	39
結論	40
參考書籍	41

緒論

高層建築物的建造提出了一系列與這些建築物的設計及計算有關的新問題。其中包括非常重要的高層建築物的側向剛度的問題。目前的研究工作是在研究這類結構物的振動，其目的是求它的側向剛度。

在設計高層建築物時，除去計算它的永久垂直荷載及暫時垂直荷載以外，還要驗算在風力作用下的情形。全部風荷載通常被假定為僅由建築物的剛架來承受。但在剛架之間還有建築物的牆及隔牆，它們毫無疑問應提高結構物的剛度，因之，風荷載不僅由剛架承受，填充結構也應承受一部份。荷載在這些構件間的分佈情況，正像任何一種靜力不定體系一樣，應該按照它們的剛度來進行。

這樣一來，建築物的剛架及其填充砌體的側向剛度的大小，可以由風荷載在結構物這兩種構件之間的分佈情況來判斷。剛架所承受荷載的實際比重，從數量上說明了在設計新的相仿的結構物時，可以用来降低由剛架所擔負的風壓的計算數值。因此導致了建築的重量減低及造價降低。

與此有關，發生了結構物側向剛度的實際大小的問題。

高層建築物在水平力作用下計算簡圖的不明顯性，自然會引起必需來進行試驗研究。可是進行試驗需要創設試驗用水平荷載，但事實上應該考慮到由於結構物尺寸很大，為此目的，所需要的荷載是不可能作到的。進行試驗研究時，高層建築物側向剛度的唯一指標，是它的振動頻率，可以在實際結構上量

得。

还有在結構物上作用有其他动力因素时，也有必要进行高層建筑的振动研究。其中包括，具有很大实际意义的动力因素是由于基础的移动。

基础的移动可能是因为土壤由于地震而引起振动的結果，还可能是因为巨型工業設備开动的結果。在这种情况下，設計者將被迫决定建筑物的自振頻率，同样要求选用那一种計算簡圖。

这种結構物的工作情况，例如現代高層建筑物，是空間作用的，而且是多次靜不定結構，是非常复杂的，目前未必能够在很复杂的計算簡圖中完全充分地表达出来。即使这样的簡圖会建立起来了，它的計算也是異常复杂的，因此沒有实际意义。

反之，採用極为簡化的計算簡圖，只考慮其中某一最重要的因素，实际上是非常有用的，因为計算應該是簡單的，因此它很适用于实际問題上。但是所採用的簡化方法不應該达到这样的限度，即它引起与現象的實質有所不合，帶來粗俗的性質而不是簡化。

为了合理地选择高層建筑物的計算簡圖，看来最正确的还是应坚持早先研究居住磚石建筑物的振动問題〔2〕时所採用过的方針。这个方針是用試驗方法来决定振动着的建筑物的变形形狀；在分析它特性的基础上，採用建筑物受水平力的作用是基本的佔統治地位的因素作为前提。

§ 1. 实地觀察方法

在莫斯科的三座高層建築上進行了試驗檢查，它們是斯摩棱斯克廣場(Смоленская площадь)大廈、莫斯科大學(МГУ)及柯切尼切斯闊(Котельническая)河岸大廈(見圖1—3)。檢查的目的是求得建築物自由振動時的變形形狀，以及確定與此相對應的頻率。由於振動的不穩定，必須同時進行不少於兩點的測量。在整个觀察時間中視其中的一點為不動點，通過其他各點與此點振幅的對比，可以得到振動的相對振幅。測量振動的儀器是用蓋格式記錄設備與 ЦНИПС 試驗設備工廠所設計製造的低頻擺錘配合使用。

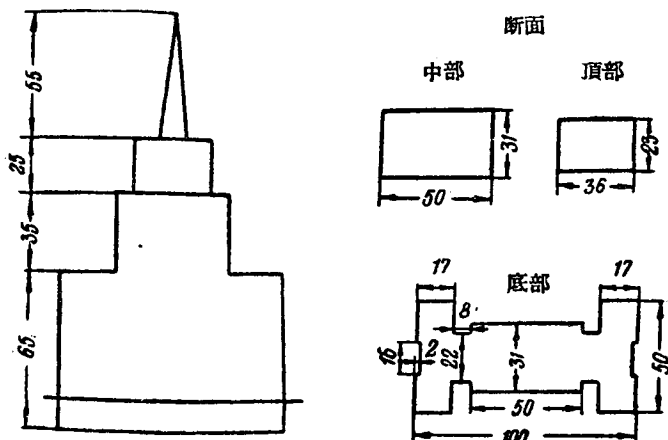


圖 1 斯摩棱斯克廣場大廈圖

為了提高儀器的靈敏度，自記錄設備中拆去中間傳動橫桿及用來壓住儀器針到惰性塊體上的彈簧(見後)。儘管採取這樣的措施，僅能在頂部的幾層獲得可靠的振動記錄。在底部的幾層上，振幅很小，或者完全記錄不出來，或者因為偶然的因

素使其失真。尽管是这样的数据，將如下面所指出的，可以建立对于問題的性質方面的相当明确的概念。

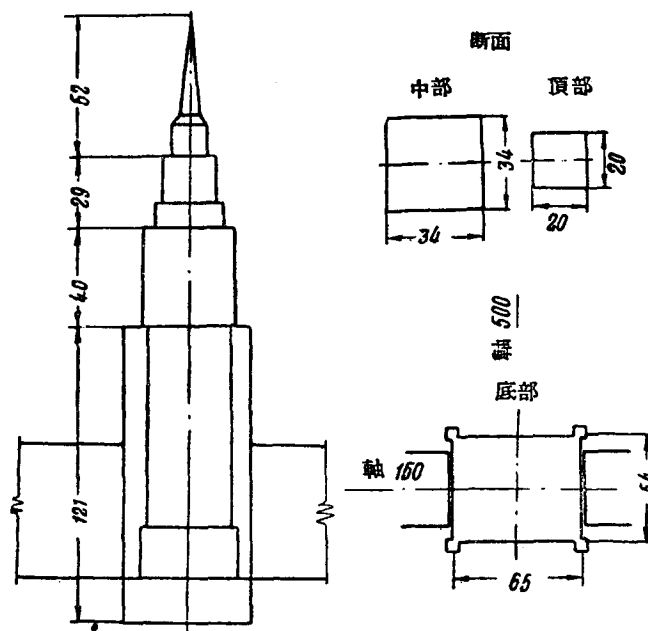


圖 2 莫斯科大學主樓圖

今后如果繼續研究高層建築的振動時，應該放棄應用蓋格式儀器，而代以更精密更靈敏的設備。其中包括合理地應用根據光學原理所製成的儀表，它能將有缺點的因素縮減至最小，這些不利的因素是採用機械放大原理的儀表所固有的。（測讀部份的剛性，相當影響到惰性塊體的頻率，另外還有活動部份的摩擦力）。

低頻摆錘 工業建築中央科學研究院的試驗設備工廠中為
了研究高層建築的振動，設計製造了攜帶式的頻率擺錘，利用

这种机器，可以記錄比普通頻率低得多的水平振动（圖4）。

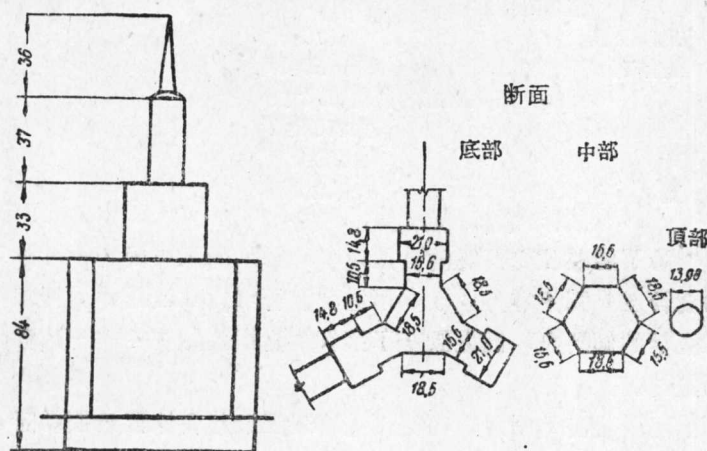


圖3 柯切尼切斯闊河岸大廈圖

对摆锤所提出的基本要求，是要保証摆锤的自振週期不少于4—5秒；能够按照試驗的要求来或大或小地改变自振頻率。

为了便于运输，摆锤制造得能够很快而且很方便地拆裝它的基本部件；在运输的时候摆锤分解为三个部份：支座、锤体

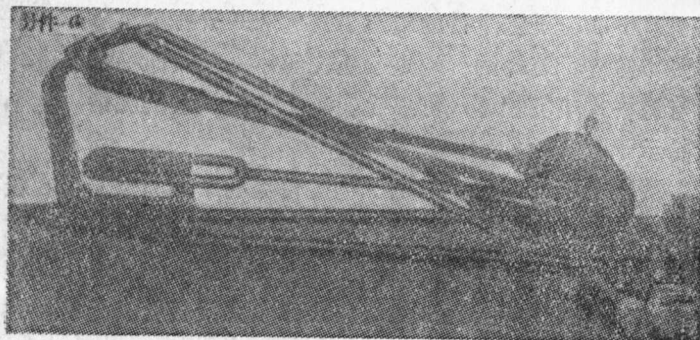


圖4 低頻擺錘

及懸掛錘体用的零件。

摆錘的特性

摆錘全重	約70公斤
錘体重	50公斤
摆錘在使用状态的总輪廓尺寸:	
長	1,350公厘
高	500公厘
寬	42公厘

錘体的旋轉重心半徑100公分

为了能够改变摆錘的自振频率，錘体的系桿固定于可移动的套管上（圖4零件a）。用这个套管可以改变錘体旋轉軸对垂直軸的傾斜角，因之改变了摆錘的自振週期在4——10秒的范围内。

記錄設備的附件 在使用蓋格式記錄設備來記錄振动时，普通应用兩阶段記錄比例尺的放大。第一阶段放大是借助于适当地佈置，用連桿与穿釘相連的橫桿来实现。第二阶段放大是改变穿釘在筆尖上的固定位置来实现。不过在記錄高層建筑的水平振动时，这样的仪器工作簡圖並不令人滿意，因为所記錄的振动振幅和頻率都偏乎小了。

要获得可靠的振动記錄曲線必須使因为摩擦所引起的損失減至最小，为了这个目的制造了長達250公厘的特殊連桿来代替傳动橫桿。連桿的一端直接連在錘体上，其他一端通过穿釘而与蓋格式筆尖相連，可以說实现了“直接”的記錄，这个構造簡示于圖5中。

按这个記錄簡圖，只剩下筆尖轉軸的摩擦力及筆尖在紙帶上的摩擦力，这样，仪器的灵敏度大大地提高了。

同步記錄振动的裝置 在研究建筑的振动形式时，同步地記錄振动是必需的。要求同时用兩三个記錄設備在建筑物的不同地点进行記錄。

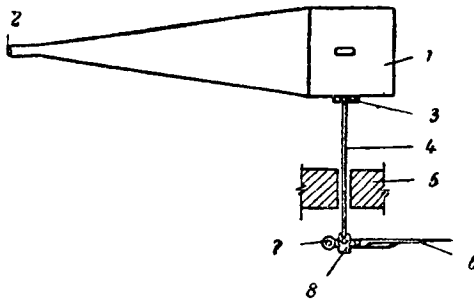


圖 5 联于蓋格式記錄設備的附件

1 ——錘体，2 ——旋轉軸，3 ——固定連桿的小平面，4 ——連桿，
5 ——記錄設備的外殼，6 ——記錄筆尖，7 ——筆尖旋轉軸，8 ——穿釘

众所週知，为了記錄時間，在記錄設備上裝置了特殊的設備，它由帶平板銜鉄的电磁鐵及時間記錄筆尖所組成。电磁鐵的电源是电压为 4 伏、电流强度为 0.4—0.5 安的电池，在此同一电路中串联了一个时间断电器。如果由断电器所带动的記錄設備的数量不多于兩個，則時間断电器的接触將工作得很好，在紙帶上所記錄的時間很清晰。如果同时接上了很多个仪器，则在电路中的电压或电流應該增大，断电器的接触点將會“燒毀”。

由于这个原故，電路圖改变成圖 6 所示。

此时，採用了24伏有線電話用繼电器，它在 4 伏时工作得相当精确，要求10—12毫安的电流。因此，繼电器的电源可採用手电筒中用的电池。为了減小接触点起火花与燒毀，在工作电路中，与接触点並联接一个电容为 2 微法拉—— 250 伏的电容器。

振动形狀的研究 为了确定建筑物的振动形狀，用几个仪器进行同步記錄，因此，为要避免誤差，必須注意在所有測点上摆錘与記錄仪器的相互位置。为了便于整理記錄紙帶，以便

当锤体“向着仪器”或者“由仪器开始”运动时，所有仪器的记录笔尖均呈同一种形式的偏畸，也就是或“由仪器开始”或“向着仪器”。

同步地记录振动往往不是连续的，而是在个别的很短的时间段内进行；仪器及接触时计的线路，在建筑物振动已经增长

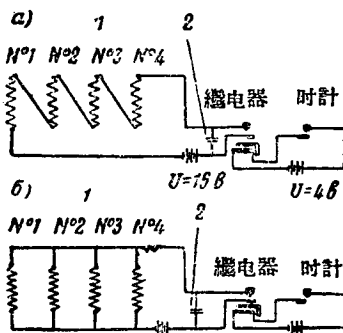


圖 6 同步記錄振动的裝置

a——串聯，b——並聯

1. 記錄設備

2. 容電器2微法拉——250伏

到相当程度之后再接通，这个时间需要几分鐘。此时，除了通常用接触时计记下时间外，在纸带上还记下附加的呈非直线规律部份的记录，以便找到在各个仪器的纸带上，同一时期所记录的非直线规律部份。

同步记录的振动图整理时的特点是必须求得所有仪器纸带上的振动图波峰与同步时间齿痕记录点的位移角。要算出位移角的数值，还需考虑每个仪器上的时间记录笔尖与振动记录笔尖的相对位移。

由波峰到所选择的时间的齿痕记录点的距离，考虑到在仪器上的这两种笔尖的位置，等于：

$$l_0 = a + e$$

式中 a —— 記錄儀器上的時間筆尖與振動記錄筆尖的位移。

e —— 由波峯到通過所選擇時間的齒痕記錄點的距離
(見圖 7)

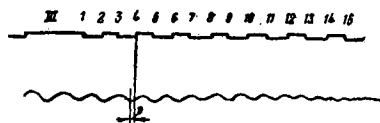


圖 7 同步記錄的振动圖

因为波長 L 相當于一個圓周 (或 360°)，所以波峯與所選擇的時間的齒痕記錄點的位移角等於：

$$\varphi = \frac{360^\circ l_0}{L}$$

比較如此求得的諸點的位移角，可以判斷出各點上相互的振动相位，也就判斷出建築物的振动形狀。整理振动圖時的實踐證明，計算位移角的精確度往往在 40° 到 60° 之間，其大小由整理技術及振动按其性質與正常狀態偏離程度為先決條件。由切線法求得振动偏離，是非常困難的，且能降低精確度。

測定高層建築的振动形狀時，在水平剖面上企圖測出除橫向振动以外是否還有扭轉振动，以及在振动時建築物總變形是在什麼範圍之內。為了達到這個目的，裝設了三個儀器來同步地記錄振动，它們的佈置見圖 8 所示。

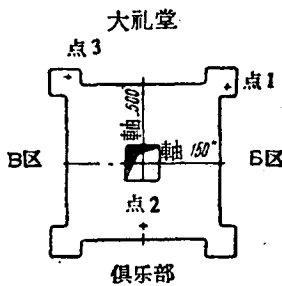


圖 8 研究在水平平面內振动形狀的仪器佈置圖

在表 1 及圖 9 中例举了沿莫斯科大学建筑的两个主軸方向在标高为137.45公尺处的振动圖整理結果和建筑的位移。此圖是按照各組記錄結果，並求其总平均值，还根据記錄的动力比例尺来进行修正的。必須进行修正的原因，是記錄仪器的錘体各个自振週期稍有不同，因而仪器的各个放大率也稍有不同。

此类修正系数的数值按下式求得：

$$k = \frac{1}{1 - \left(\frac{\omega^2}{1 - \frac{\omega^2}{p^2}} \right)}$$

式中 ω —— 建筑物的振动頻率；

p —— 錘体的自振頻率。

莫斯科大学主楼中央部分振动圖整理結果。

第33層，标高137.45公尺

表 1

記 錄 編 號	記 錄 階 段 編 號	位 移 角			各点間的位移	
		記 錄 點 編 號			1—2点	1—3点
		1	2	3		
1	2	3	4	5	6	7
a) 在軸500平面內						
4	III—5	- 93	-	+ 56	-	+31
4	III—6	+ 71	-	+196	-	+55
4	III—7	+ 46	-	+182	-	+44
4	III—8	+184	-	+359	-	+ 5
5	III—15	-142	-136	+ 6	- 6	+32
5	III—16	- 4	- 17	+172	+13	+ 4
5	III—17	+173	+195	+322	-22	+31
5	IV—5	+ 32	+ 36	-185	- 4	+37
5	IV—6	+192	+216	- 15	-24	+27
5	IV—7	+352	+398	+143	-46	+29
5	IV—8	+111	+149	- 98	-38	+29

(續)

表 1

記 錄 編 號	記 錄 階 段 編 號	位 移 角			各點間的位移	
		記 錄 點 編 號			1—2點	1—3點
		1	2	3		
1	2	3	4	5	6	7

6) 在軸150平面內

6	IX-16	- 87	-	-103	-	+16
6	IX-17	+ 64	-	+ 59	-	+ 5
6	IX-18	+166	-	+212	-	-46
6	IX-19	+319	-352	+328	-49	- 9
7	I-18	-190	+225	-144	-55	-46
7	I-19	- 37	+326	0	- 3	-37
7	I-20	+100	+490	+109	-30	- 9
7	IV-18	-277	-248	+104	-29	-21
7	IV-19	-210	-151	+167	-59	-17
7	IV-20	- 58	- 34	+289	-24	+13
7	IV-21	+104	+162	-	-58	-
8	II-11	-193	+218	+218	-51	-51
8	II-12	- 56	+357	+344	-53	-40
8	II-13	+ 80	-	-	-	-
8	III-13	+ 24	+ 86	-	-62	-
8	III-14	+206	+222	-	-17	-
8	III-16	+428	+480	-	-52	-
9	0-10	- 49	0	- 77	-49	+28
9	I- 1	+ 21	+ 55	- 5	-34	+26
9	I- 2	+172	+250	+162	-78	+10
9	I- 8	+356	+378	+349	-22	+ 7
9	II- 7	-202	-154	-189	-48	+13
9	II- 8	- 99	- 26	- 86	-73	-13
9	II- 9	+ 71	+139	+ 53	-68	+18
9	II-10	+207	+213	+214	- 6	- 7

註：在沿軸 500 記錄振動時，點 3 处之儀器與錘體相互位置，與點 1 及點 2 处者正相反，因此在計算相的位移時加了一個 180° 的修正。

錘體的自振週期及修正系數列入表 2：

對表 1 (相的位移) 進行研究，以及位移圖證明：建築物

在平面上的振动仅仅是平动。

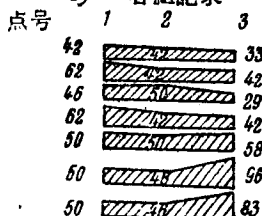
锤体自振周期及修正系数表

表 2

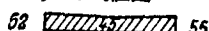
锤体編號	振动週期T(秒)	修 正 系 数 k
1	4.8	0.99
2	5.0	1.00
3	4.2	0.95

在軸 500 平面內

1) 各組記錄



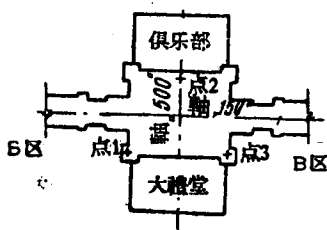
2) 平均值圖



3) 整理后之圖



在 ▶137.45 标为測点位置圖



在軸 150 平面內

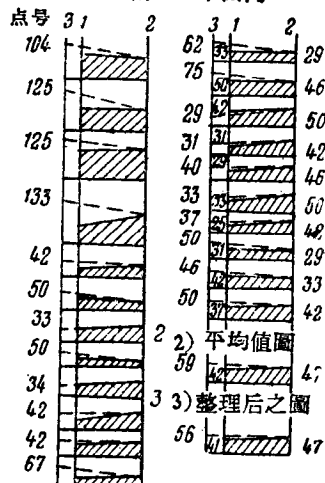


圖 9 莫斯科大学建筑第33層主楼的中央部份的位移圖

單位是千分之一公厘

柯切尼切斯闊河岸大廈在垂
直平面內的振动圖整理結果

表 3

記 錄 編 號	記 錄 地 段 編 號	第 3 3 層				第 3 0 層			
		紙帶振幅(公厘)	上振幅(公厘)	頻率 3:24	(赫芝)	紙帶振幅(公厘)	上振幅(公厘)	頻率 6:24	(赫芝)
1	2	3	4	5	6	7	8		
在軸65平面內									
3	I—1	1.0	0.042	0.83	0.7	0.029	0.82		
3	II—1	0.9	0.037	0.84	0.6	0.025	0.83		
3	IV—1	0.8	0.033	0.89	0.5	0.021	0.80		
3	V—10	1.2	0.050	0.85	0.7	0.029	0.86		
4	III—24	0.9	0.037	0.88	0.7	0.029	0.89		
4	0—38	1.2	0.050	0.83	1.0	0.042	0.84		
4	III—48	0.9	0.037	0.81	0.7	0.029	0.85		
4	IV—3	0.6	0.025	0.84	0.5	0.021	0.88		
5	III—14	0.5	0.021	0.85	0.5	0.021	0.87		
5	II—16	0.4	0.017	0.97	0.5	0.021	0.81		
5	IV—1	0.5	0.021	0.79	0.4	0.017	0.81		
6	I—3	0.5	0.021	0.89	0.3	0.012	0.88		
7	I—7	0.9	0.037	0.78	0.5	0.021	0.83		
7	II—1	0.5	0.021	0.84	0.3	0.012	0.82		
8	II—15	0.5	0.021	0.82	0.3	0.012	0.82		
8	III—4	0.7	0.029	0.88	0.4	0.017	0.88		
9	I—14	0.5	0.021	0.83	0.3	0.012	0.88		
平均 值									
經過用動力比例尺 修正記錄的 放大率以後									
			0.031				0.023		
			0.026				0.020		

以后又进行了沿着建筑物高度的各种不同标高用两个仪器进行振动的同步记录。同步记录的目的，是要确定建筑物垂直平面内的振动形状，这样的测量曾在莫斯科大学及柯切尼切斯